

長波の研究用造波装置とその特性について

東北大学工学部 教授 岩崎敏夫
 ……大学院 学生 楊澤民
 柴田範和

8. 1. まえがき：

東北大学土木工学科水理研究室における、長波の研究用造波装置に関する、特性解析の一部として、昭和41年度、土木学会東北支部技術研究発表会で第一報を報告したが、今回は、それ以後の研究経過を第二報としてまとめた。

前報は主に、津波水槽流入端の流入量“ g_x ”と、その変位における水位変化量“ η ”との関係を表す伝達関数“ $K(s)$ ”の減衰項無視の際の解析を行なった。その結果、数値計算による理論値と実験値の差異

が著じるしい。また、基本波のみでなく、高調波成分の影響を計入しても、良好な結論をうなづけられず、そこで、次に減衰項を考慮して解析を試みた。その詳しい報告は、昭和42年10月、横浜で開催された、第十四回海岸工学講演会に当つて、一文を提出したので参照されたい。ここでは、單に、図2より、減衰項無視($m=4$)の場合と、減衰項考慮($m=1, 4$)の際のゲイン曲線および位相曲線を示し、さらに、自

図-1 $K(s)$ のゲイン曲線

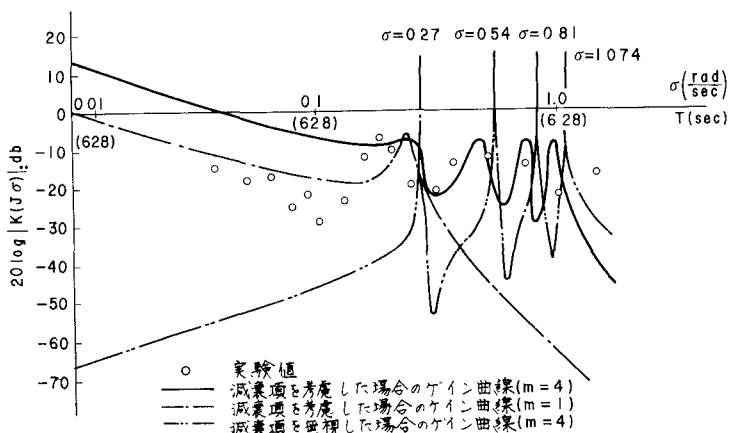
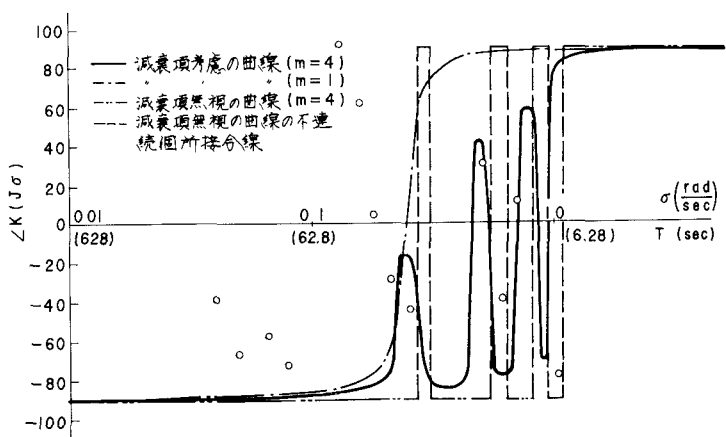


図-2 $K(s)$ の位相曲線



丸で実験値を附加した。以上を考察すれば、明るかに、減衰項を考慮して解析した方が実験値より良い、"y₂~y₄" 関係をよりよく把握しているといえる。故に、伝達関数 "K(S)" の式は、減衰項考慮の式で表わした;

$$K(S) = B \sum_{m=1}^{\infty} \left(Y_{1m} + Y_{2m} \frac{\sigma}{S} + Y_{3m} \frac{S^2 + \sigma^2}{S(S - \lambda_1)} + Y_{4m} \frac{S^2 + \sigma^2}{S(S - \lambda_2)} \right) \quad (1.1)$$

ただし、ここで;
 $B = \frac{2\pi^2 h \cos \theta}{bd} \cdot \frac{C^2}{\ell^3}$
 $\lambda_1 = -\frac{k_1}{2} + j(\sigma^2 - \frac{k_2^2}{4})^{1/2}$
 $\lambda_2 = -\frac{k_1}{2} - j(\sigma^2 - \frac{k_2^2}{4})^{1/2}$
 $\sigma = Cm\omega_x$
 λ_1, λ_2 ; 減衰係数

$$\left. \begin{aligned} Y_{1m} &= m^2 \frac{\lambda_1 + \lambda_2}{(\lambda_1^2 + \sigma^2)(\lambda_2^2 + \sigma^2)} \\ Y_{2m} &= \frac{-m^2 (\sigma^2 - \lambda_1 \lambda_2)}{\sigma (\lambda_1^2 + \sigma^2)(\lambda_2^2 + \sigma^2)} \\ Y_{3m} &= \frac{m^2}{(\lambda_1 - \lambda_2)(\lambda_1^2 + \sigma^2)} \\ Y_{4m} &= \frac{-m^2}{(\lambda_1 - \lambda_2)(\lambda_2^2 + \sigma^2)} \end{aligned} \right\} \quad (1.2)$$

§. 2. 総合伝達関数:

本自動制御造波装置の機能をプロック線図で、図3に示した。その開ループ総合伝達関数を "G(S)" で、閉ループ総合伝達関数を "W(S)" と表わせば、各々次の関係式で示される;

$$G(S) = G_2(S) \cdot G_1(S) \cdot K(S) \quad (2.1)$$

$$W(S) = \frac{G(S)}{1 + G(S)} \quad (2.2)$$

関係式の中で、 $G_2(S)$ は、制御要素の伝達関数を示すもので、本装置では、PID要素を含むるので、3つのパラメータを調節することによって、機能をある程度是正しうるわけである。 $G_1(S)$ や $K(S)$ は、制御対象を意味し、水理系伝達関数として、解析してきたものである。ついでに、 $G_1(S)$ × $G_2(S)$ の式を、次の通りに示しておこう;

$$G_1(S) = \frac{0.104 S (S + 5.595) (S + 1.436)}{(S + 0.673) (S + 0.021) (S + 1.873) (S + 3.926)} \quad (2.3)$$

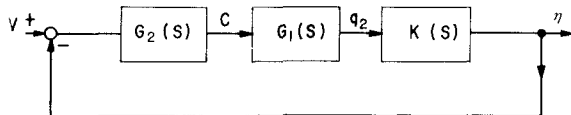
$$G_2(S) = K_p (1 + T_d S + \frac{1}{T_i} S) \quad (K_p, \text{比例常数}, T_d, \text{微分時間}, T_i, \text{積分時間}) \quad (2.4)$$

以上の諸関係式より求めれば、総合伝達関数として、 $G(S)$ や $W(S)$ 諸式がまぎれる。そして、これを等式にまとめて、両者のゲイン曲線と位相曲線を各自描かれるか、閉ループ総合伝達関数によれば、(i) 計算かはるかに簡単であること。(ii) 閉ループ実験データに若干の変形をほどこすことによって、閉ループ総合伝達関数の理論値と比較検討しつつ、本解析においては、閉ループ総合伝達関数 "G(S)" のボード線図をもとづくこととする。

§. 3. 実験:

総合伝達関数に関する実験は、本制御造波装置を閉ループに切換え、即ち、出力にあたる津波水槽流入端における水位をフィードバックさせ、プログラムのための正弦波形を入力として実験を行

図-3 ブロック線図



が、大。この際、出力波形と入力波形の振巾比対数に 20 倍したものが §. 2 で示した開ループ総合伝達関数 "G(S)" のゲイン曲線に對比する実験値である。また出力波形と入力波形の位相差も、"W(S)" の位相曲線に對比する実験値となることを明らかである。故に、§. 2 で示した開ループ総合伝達関数 "G(S)" のポート線図に對比する実験値をうるには、若干の修正が必要となる。

まず、式(2~2)を次式に変形する：

$$G(S) = \frac{W(S)}{1 - W(S)} \quad (3.1)$$

上式にしたがえば、"G(S)" の絶対値および位相角は、次の兩式で表わされる：

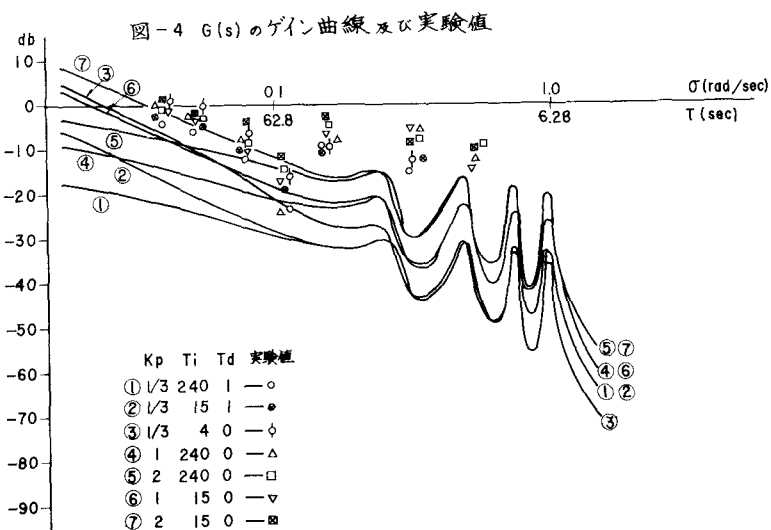
$$|G(S)| = \frac{|W(S)|}{|1 - W(S)|} \quad (3.2)$$

$$\angle G(S) = \angle \frac{W(S)}{1 - W(S)} \quad (3.3)$$

ここで、 $|W(S)|$ および $\angle W(S)$ は、上述の開ループ実験値である。さらに $|1 - W(S)|$ および $\angle 1 - W(S)$ は、複素数平面における、ベクトル合成の関係より算出しえるので、式(3.2)と(3.3)を用いて、開ループ総合伝達関数 "G(S)" のポート線図、即ちゲイン曲線と位相曲線に對比する実験値をえらべることができる。

なお、本実験に関する一つの困難として、操作パラメータである、 K_p 、 T_i 、 T_d 諸値が數多くの組合せによつて、多くの実験回数を行なわなければならぬ。また同時に、多くの數値計算による理論値曲線をうるゆけである。本報告に際しては、時間の許す限り、幾多の K_p 、 T_i 、 T_d 諸値の組合せ実験を行ひ、上記の處理法と、數値計算による "G(S)" ポート線図と、その対比すべき実験値两者を、同一図面で表わした。図4および図5は、その一部を集約的に示したものである。

ゲイン曲線の実験値は、一般的に、理論値と比較してやや大きめの數値を示している。又、実験を行なつた範囲内においては、周波数が大きくなつてつれて、(即ち周期が短くなるにつれて)、ゲインのデシベル値が小さくなつてゆるので、傾向としては、理論曲線と同じである。



位相曲線に対比する

実験値については、周波数 0.157 rad/sec (即ち周期 40 sec) における実験値が、大まかにバラツキを示している以外は、かなり理論値に接近していることがわかる。

また、周波数が 0.523 rad/sec (即ち周期 1.2 sec) 以上の領域における実験結果は、波形の急速な変動に、制御装置が追隨しきれないので、操作の途中波形が消失することを示している。

最後に、数値計算による理論曲線の形は、 $K(S)$ がもつても決定的な"アックメー"として存在する。 $K(S)$ 式の誘導に関しては、津波水槽における境界条件の設定によって大きく異なるので、本制御造波装置の特性は、津波水槽の境界条件に大きく左右されるを見てよい。

§. 4. おまけ：

以上の解析より、本制御造波装置の総合伝達関数を明りかにしたので、この次は、評価関数の設定について色々検討を行ない、最適制御の問題に取り組みたい。次の報告は次の機会にゆづることとする。

参考文献：

- 1) 岩崎・楊：長波の研究用造波装置とその特性について (1). (第十三回海岸工学講演集.)
- 2). 岩崎・楊：長波の研究用造波装置とその特性について (2). (第十四回海岸工学講演集.)
- 3) Jonson, I G : "Wave Boundary Layers and Friction Factors", (Proc. of Tenth Conf. on Coastal Engineering, Sept. 1966)
- 4). Iwagaki, Y. and Y Tsuchiya : "Laminar Damping of Oscillatory Waves Due to Bottom Friction", Proc. of Tenth Conf. on Coastal Engineering. Sept. 1966.)

